

روشی برای محاسبه شتاب گرانی متوسط بر اساس حل مسئله مقدار مرزی و اسپیلاین‌های هماهنگ

عبدالرضا صفری^{۱*} و عبدالرحمان مصطفایی^۲

^۱ دانشیار، گروه مهندسی نقشه‌برداری، پردیس دانشکده‌های فنی، دانشگاه تهران، ایران

^۲ داشجوی دکتری ژئودزی، گروه مهندسی نقشه‌برداری، پردیس دانشکده‌های فنی، دانشگاه تهران، ایران

(دریافت: ۸۷/۸/۵، پذیرش نهایی: ۸۹/۱۲/۲۴)

چکیده

یکی از مشکلات اساسی در تعیین ارتفاع ارتمتریک، تعیین شتاب گرانی متوسط در امتداد خط شاقولی گذرنده از نقطه است. در این مقاله روشی برای تعیین شتاب گرانی متوسط بر مبنای حل مسئله مقدار مرزی ثابت-آزاد براساس مشاهدات از نوع (۱) قدرمطلق شتاب گرانی حاصل از گرانی سنجی زمینی (۲) طول و عرض نجومی (۳) عملیات ترازیابی و گرانی سنجی و (۴) ارتفاع سنجی ماهواره‌ای عرضه می‌شود. پس از حل مسئله مقدار مرزی، پتانسیل گرانی تفاضلی روی سطح بیضوی مرجع حاصل می‌شود. پتانسیل گرانی تفاضلی در خارج بیضوی مرجع در معادله لاپلاس صدق می‌کند. پس از حل مسئله مقدار مرزی دیریکله، می‌توان پتانسیل گرانی تفاضلی را در نقطه با ارتفاع متوسط تعیین کرد و پس از اعمال عملگر گرادیان، شتاب گرانی تفاضلی را نیز در این نقطه بدست آورد. با در اختیار داشتن شتاب گرانی تفاضلی در نقطه با ارتفاع متوسط و بازگرداندن اثرات حذف شده در این نقطه، شتاب گرانی متوسط به دست می‌آید. روش عرضه شده به صورت عددی در منطقه جغرافیایی ایران آزمایش شده است.

واژه‌های کلیدی: ارتفاع ارتمتریک، شتاب گرانی متوسط، مسئله مقدار مرزی ژئودزیک، اسپیلاین‌های هماهنگ، ژئوئید

A methodology for mean gravity value computation based on harmonic splines and their application to boundary value problem

Safari, A.¹ and Mostafaei, A.²

¹ Associate Professor, Department of Surveying and Geomatics Engineering, University College of Engineering, University of Tehran, Iran

² Ph. D. Student of Geodesy, Department of Surveying and Geomatics Engineering, University College of Engineering, University of Tehran, Iran

(Received: 26 Oct 2008, Accepted: 15 March 2011)

Abstract

Height is amongst the most delicate subjects of geodesy. Thanks to the Global Navigation Satellite Systems (GNSS) like GPS or GLONASS, 3D point positioning of points, by geometrical positioning, since years ago has become a common practice. The height derived from these ways has a geometrical concept. In civil projects the physical concept of the height is more demanded. Orthometric height, H_i^O , is one kind of the physical concepts of the height. The Orthometric height of point i, H_i^O , can be calculated by

$$H_i^O = \frac{C_i}{\bar{g}_i}$$

where \bar{g}_i is the mean value of the gravity along the plumb line between the geoid and the

surface point i and C_i is the geo-potential number of point i, which is calculated using

$$C_i = -(W_i - W_0)$$

One of the problems in orthometric height calculation is computation of \bar{g}_i . The value of the gravity at the point with mean height H_i is calculated by

$$\bar{g}_i = g_i + 0.0424H_i^O$$

Where g_i is gravity observation value at point i.

The orthometric height computed by this mean value of the gravity is called Helmert orthometric height, according to Sanso and Sona (1993) the idea for earth gravity determination.

In this paper a methodology to calculate value of the gravity at the point with mean height from the geoid has been supposed. Derived gravity from this method is composed from three parts, (1) global and regional gravity computed by ellipsoidal harmonic expansion to degree and order 360 plus the centrifugal acceleration (2) gravitational due to terrain masses within the radius of 55km around the computational point (3) incremental gravity intensity at the computational point. The first and second parts are computed by global geopotential models and digital terrain models.

Computation of the third part is possible by solving a boundary value problem. In this paper for computing the incremental gravity intensity at the point with mean height, a method by solving a fixed-free two-boundary nonlinear value problem is addressed. This boundary value problem constructed for observables of the type (i) modulus of gravity (ii) gravity potential (iii) satellite altimetry data (iv) astronomical latitude (v) astronomical longitude.

The first step towards the solution of the proposed fixed geodetic boundary value problem is the linearization of the problem. After linearization we obtained a linear boundary value problem that its solution gives us the incremental gravity potential at the surface of the reference ellipsoid. Out of the reference ellipsoid surface, this answer could be obtained by solving the following Dirichlet boundary value problem:

$$\begin{cases} \operatorname{div} \operatorname{grad} \delta W^L = 0 & \forall x \in \Sigma_{ext} \\ \delta W^L(x) = \delta W^L & \forall x \in \Sigma \\ \delta W^L = \mathcal{O}\left(\frac{1}{\|x\|_2^{L+1}}\right) & \text{for } \|x\|_2 \rightarrow \infty \end{cases}$$

In this paper harmonic splines supposed by Freedon (1987) are used to solve the Dirichlet problem. By applying the gradient operator on the incremental gravity potential, due to solving Dirichlet problem, incremental gravity at every point out of the reference ellipsoid can be calculated (Jekeli, 2005).

Second section of this paper is an introduction on harmonic splines analysis. The construction of self productive Hilbert space and optimum interpolation answer is presented in the third section. In the final section the application of harmonic splines for solving the Dirichlet boundary value problem is discussed and by the proposed methodology the mean value of gravity in the first order leveling of Iran is calculated.

Key words: Mean gravity value, harmonic splines, boundary value problem, orthometric height, geoid

۱ مقدمه

$$C_i = -(W_i - W_0) \quad (2)$$

اعداد ژئوپتانسیل دارای این ویژگی مفیدند که برای هر نقطه یکتا هستند. با در اختیار داشتن اعداد ژئوپتانسیل در هر نقطه می‌توان از راه رابطه زیر، ارتفاع ارتومنتریک در هر نقطه را تعیین کرد: (هیسکانن و موریتز، ۱۹۶۷):

$$H_i^O = \frac{C_i}{\bar{g}_i} \quad (3)$$

که در رابطه فوق C_i عدد ژئوپتانسیل نقطه P_i و \bar{g}_i شتاب گرانی متوسط در امتداد خط شاقول گذرنده از نقطه P_i است. یکی از مشکلات اصلی در تعیین ارتفاع ارتومنتریک، تعیین شتاب گرانی متوسط در امتداد خط شاقول گذرنده از نقطه است. چنانچه در رابطه (۳) شتاب گرانی متوسط از رابطه زیر محاسبه شود:

$$\bar{g}_i = g_i + 0.0424 H_i^O \quad (4)$$

ارتفاع ارتومنتریک حاصل ارتفاع ارتومنتریک هلمرت نامیده می‌شود. در رابطه (۴)، g_i برحسب گال و H_i^O برحسب کیلومتر است (هیسکانن و موریتز، ۱۹۶۷). برای تعیین شتاب گرانی متوسط تحقیقات گسترده‌ای از سوی جامعه ژئودزی صورت گرفته است که از آن جمله می‌توان به کارهای (هلمرت، ۱۹۹۰؛ نیتهامر، ۱۹۳۲؛ مادر، ۱۹۵۴؛ هیسکانن و موریتز، ۱۹۶۷؛ لدرستگر، ۱۹۵۵؛ رب، ۱۹۶۱؛ کراکیوسکی، ۱۹۶۵؛ استرانگک، ۱۹۸۲؛ سانکل، ۱۹۸۶؛ کاو و همکاران، ۲۰۰۰؛ تنر و ونیچک، ۲۰۰۳؛ دنیس و فلدرستون، ۲۰۰۳؛ اردلان و جزایری، ۱۳۸۴) اشاره کرد.

پیدایش مدل‌های جهانی و مدل‌های رقومی زمین با توان تفکیک زیاد مدل‌سازی با دقت زیاد میدان گرانی زمین را فراهم کرده است. بر این اساس سانسو و سونا (۱۹۹۳) نظریاتی را برای تعیین میدان

یکی از اهداف اصلی ژئودزی، تعیین مختصات سه‌بعدی نقاط در روی سطح و فضای بیرونی زمین است. پیدایش ماهواره‌های موقعیت‌یاب جهانی (GNSS, Global Navigation Satellite Systems) تعیین موقعیت سه‌بعدی را امکان پذیر کرده است. مختصات تعیین شده با ماهواره‌های موقعیت‌یاب جهانی دارای مفهوم هندسی است. ولی در کاربردهای عمرانی، ارتفاع موردنیاز دارای مفهوم فیزیکی است. تعیین موقعیت مسطحاتی به سادگی از طریق ماهواره‌های موقعیت‌یاب صورت می‌گیرد، درحالی که ساده‌ترین شیوه به‌منظور تعیین ارتفاع، روش ترازیابی است. پس از انتخاب یک نقطه در حکم مبنای، می‌توان ارتفاع سایر نقاط را از راه ترازیابی تعیین کرد. ارتفاع حاصل از ترازیابی به‌دلیل وابستگی اختلاف ارتفاع حاصل از ترازیابی به مسیر ترازیابی یکتا نیست. بنابراین نمی‌توان این روش را به صورت یک روش مناسب در تعیین ارتفاع نقاط به کار برد (ونیچک و کراکیوسکی، ۱۹۸۶؛ سانسو و ونیچک، ۲۰۰۶ و جکلی، ۲۰۰۰). مشکل را می‌توان با تبدیل نتایج وابسته به مسیر به نتایج مستقل از مسیر حل کرد. برای دو سطح هم‌پتانسیل نزدیک به‌هم رابطه زیر برقرار است (ونیچک و کراکیوسکی، ۱۹۸۶):

$$8W = -g\delta h \quad (1)$$

می‌توان اختلاف ارتفاع δh را که کمیتی وابسته به مسیر است، به اختلاف پتانسیل $8W$ که مستقل از مسیر است تبدیل کرد. لذا با اندازه‌گیری شتاب گرانی در طول خط ترازیابی می‌توان اختلاف پتانسیل بین دو نقطه را که مستقل از مسیر است به دست آورد. می‌توان به هر نقطه P_i یک پتانسیل W_i نسبت داد. در عمل بهتر است که به جای پتانسیل W_i از عدد ژئوپتانسیل استفاده شود. عدد ژئوپتانسیل C_i مربوط به نقطه P_i به صورت زیر تعریف می‌شود (هیسکانن و موریتز، ۱۹۶۷):

تفاضلی δW^L در سطح بیضوی مرجع تعیین می‌شود. این پتانسیل گرانی تفاضلی در خارج بیضوی مرجع در معادله لاپلاس صدق می‌کند. از پتانسیل گرانی تفاضلی به دست آمده روی سطح بیضوی مرجع حاصل از حل مسئله مقدار مرزی داده شده در جدول ۱، می‌توان در حکم داده‌های مرزی برای حل معادله لاپلاس استفاده کرد و یک مسئله مقدار مرزی دیریکله تشکیل داد. در جدول ۲ مسئله مقدار مرزی دیریکله برای پتانسیل گرانی تفاضلی δW^L داده شده است.

با حل مسئله دیریکله می‌توان پتانسیل گرانی تفاضلی را در هر نقطه خارج بیضوی مرجع تعیین کرد. در این مقاله برای حل مسئله دیریکله از اسپیلانین‌های هماهنگ داده شده (فریدن، ۱۹۸۷) استفاده می‌شود. سپس با اعمال عملگر گرادیان به پتانسیل گرانی تفاضلی حاصل از حل مسئله دیریکله، می‌توان شتاب گرانی تفاضلی را در هر نقطه خارج از بیضوی تعیین کرد (جکلی، ۲۰۰۵).

مزیت اصلی این روش نسبت به سایر روش‌ها در (۱) استفاده از مدل‌های ژئوتانسیل جدید با درجه و مرتبه زیاد (۲) استفاده از مدل‌های رقومی زمین با توان تفکیک زیاد و (۳) استفاده از همه مشاهدات مربوط به میدان گرانی زمین در چارچوب یک مسئله مقدار مرزی برای تعیین شتاب گرانی متوسط است. در بخش دوم این مقاله بعضی مقدمات ریاضی برای معرفی اسپیلانین‌های هماهنگ عرضه می‌شود. در بخش سوم ساختار فضای هیلبرت خودمولد و جواب بهینه درون‌یابی عرضه می‌شود. در بخش چهارم کاربرد اسپیلانین‌های هماهنگ در حل مسئله مقدار مرزی دیریکله برای پتانسیل گرانی تفاضلی و محاسبه شتاب گرانی متوسط در شبکه ترازیابی درجه یک ایران آمده است.

گرانی زمین معرفی کردند. براساس نظر مطرح شده، میدان گرانی زمین در هر نقطه از سه قسمت تشکیل شده است (۱) سهم مدل جهانی تا درجه و مرتبه L (که در این مقاله $L = 360$ انتخاب شده است) (۲) سهم اثرات جرم‌های در فاصله نزدیک حاصل از مدل رقومی زمین (۳) سهم اثرات از درجه و مرتبه بالاتر از L ناشی از جرم‌های درونی. محاسبه سهم اثرات اول و دوم به سادگی امکان‌پذیر است، درحالی‌که محاسبه اثر سوم از راه حل یک مسئله مقدار مرزی ممکن است.

در این مقاله روشی برای تعیین شتاب گرانی براساس نظر فوق پیشنهاد می‌شود. براساس این نظر شتاب گرانی در نقطه با ارتفاع متوسط زیاد ژئوئید از سه قسمت تشکیل شده است (۱) شتاب گرانی حاصل از یک مدل جهانی تا درجه و مرتبه $L = 360$ در نقطه با ارتفاع متوسط (۲) شتاب گرانی حاصل از جرم‌های در فاصله نزدیک اطراف نقطه مورد محاسبه (۳) شتاب گرانی تفاضلی در نقطه مورد محاسبه. همان‌طور که در بالا اشاره شد، محاسبه قسمت سوم با حل یک مسئله مقدار مرزی ممکن است. در این مقاله روشی برای تعیین شتاب گرانی تفاضلی در نقطه با ارتفاع متوسط براساس حل مسئله مقدار دومرزی با مرزهای ثابت و آزاد و غیرخطی با اطلاعات بیش از موردنیاز عرضه می‌شود. جزئیات این مسئله در جدول ۱ آورده شده است. در جدول ۱ μ_γ قدرمطلق شتاب گرانی، μ_w پتانسیل گرانی، μ_Λ طول نجومی، μ_Φ عرض نجومی، μ_h داده مرزی حاصل از ارتفاع‌سنجی ماهواره‌ای، W_0 پتانسیل ژئوئید، σ چگالی و w بردار سرعت زاویه‌ای زمین است. برای حل این مسئله باید ابتدا آن را خطی کرد. برای ملاحظه جزئیات مربوط به خطی‌ساختن این مسئله می‌توان به (صفری و همکاران، ۲۰۰۵) مراجعه کرد. پس از حل این مسئله مقدار مرزی پتانسیل گرانی

جدول ۱. مسئله مقدار دو مرزی با مرزهای ثابت و آزاد و غیرخطی با اطلاعات بیش از مورد نیاز (صفری و همکاران، ۲۰۰۵).

1. $\operatorname{div} \operatorname{grad} w(x) = 2\omega^2$ (outside the Earth's masses)	$\forall x \in \mathbb{R}^3 / \mathcal{D} \cup \partial \mathcal{G}_e^+$
2. $\operatorname{div} \operatorname{grad} w(x) = -4\pi G\sigma + 2\omega^2$ (internal space plus boundary of the planet the Earth)	$\forall x \in \mathcal{D} \cup \partial \mathcal{G}_e^-$
3. $E\{\ \operatorname{grad} w\ \} = \mu_\gamma$ (boundary value data of type modulus of gravity)	$\forall x \in \partial \mathcal{G}_e = \mathbb{M}_h^2$
4. $E\{w\} = \mu_w$ (boundary value data of type gravity potential)	$\forall x \in \partial \mathcal{G}_e = \mathbb{M}_h^2$
5. $E\{h\} = \mu_h$ (boundary value data of type satellite altimetry)	$\forall x \in \partial \mathcal{G}_e = \mathbb{M}_s^2$
6. $E\{\Phi\} = \mu_\Phi$ (boundary value data of type astronomical latitude)	$\forall x \in \partial \mathcal{G}_e = \mathbb{M}_h^2$
7. $E\{\Lambda\} = \mu_\Lambda$ (boundary value data of type astronomical longitude)	$\forall x \in \partial \mathcal{G}_e = \mathbb{M}_h^2$
8. $w(x) = W_0$ (equipotential value at the level of the geoid close to mean sea level)	$\forall x \in \partial \mathcal{G}_e = \mathbb{M}_g^2$
9. $w(x) = \frac{1}{2} \omega^2 \ x - \langle x e_\omega \rangle e_\omega\ _2^2 + \frac{gm}{\ x\ _2} + \mathcal{O}_w\left(\frac{1}{\ x\ _2^3}\right) \ x\ _2 \rightarrow \infty$ (regularity condition at infinity)	

جدول ۲. مسئله مقدار مرزی خطی دیریکله برای پتانسیل گرانی تفاضلی.

$$\begin{cases} \operatorname{div} \operatorname{grad} \delta W^L = 0 & \forall x \in \Sigma_{ext} \\ \delta W^L(x) = \delta W^L & \forall x \in \Sigma \\ \delta W^L = \mathcal{O}\left(\frac{1}{\|x\|_2^{L+1}}\right) & \text{for } \|x\|_2 \rightarrow \infty \end{cases}$$

(فریدن و میشل، ۲۰۰۴):

- ۱- سطح \sum فضای اقلیدسی سه بعدی را به منطقه کراندار \sum_{int} (فضای داخلی) و منطقه غیرکراندار \sum^{ext} (فضای خارجی) تعریف شده با $\sum = \mathbb{R}^3 \setminus \overline{\sum_{int}}$, $\overline{\sum_{int}} = \sum_{int} \cup \sum$.
- ۲- فضای \sum_{int} شامل مبداء است.
- ۳- سطح \sum بسته و فشرده و فاقد نقاط دوگانه

۲ مقدمات ریاضی

در این بخش بعضی مقدمات ریاضی برای معرفی اسپلاین‌های هماهنگ مطرح می‌شود.

۱-۲ سطوح منظم

سطح $\sum \subset \mathbb{R}^3$ را منظم (یا منظم μ -هولد)، $\leq \mu \leq 0$) می‌نامند چنانچه دارای ویژگی‌های زیر باشد

در شرایط زیر صدق می‌کند:

- توابع $\left(\cdot; \alpha\right)$ متعلق به دسته توابع $H_{-n-1,j}(\alpha; \cdot)$ می‌باشد.

- توابع $H_{-n-1,j}(\alpha; \cdot)$ در معادله لالپاس $\Delta_x H_{-n-1,j}(\alpha; x) = 0$ صدق می‌کند.

$$\begin{aligned} H_{-n-1,j}(\alpha; \cdot)|_A &= \frac{1}{\alpha} Y_{n,j} - \\ \int_A H_{-n-1,j}(\alpha; x) H_{-n-1,l}(\alpha; x) d\omega(x) &= \delta_{n,k} \delta_{j,l} - \\ \text{قضیه جمع برای هماهنگ‌های خارجی به ازای تمام } & \\ (x, y) \in \overline{A_{ext}} \times \overline{A_{ext}} & \text{ به صورت زیر تعریف می‌شود:} \\ \sum_{j=1}^{2n+1} H_{-n-1,j}(\alpha; x) H_{-n-1,j}(\alpha; y) &= \\ \frac{2n+1}{4\pi\alpha^2} \left(\frac{\alpha^2}{|x||y|} \right)^{n+1} P_n \left(\frac{x}{|x|} \cdot \frac{y}{|y|} \right) & \end{aligned} \quad (8)$$

که در رابطه فوق مشخص کننده چندجمله‌ای‌های لذاندر P_n از درجه n است. $Harm_n(\overline{A_{ext}})$ فضای تمام هماهنگ‌های مرتبه n با $n \geq 0$ است:

$$Harm_n(\overline{A_{ext}}) = span_{j=1, \dots, 2n+1} (H_{-n-1,j}(\alpha; \cdot)) \quad (9)$$

و

$$\dim(Harm_n(\overline{A_{ext}})) = 2n+1 \quad (10)$$

رابطه زیر را در نظر می‌گیریم:

$$Harm(\overline{A_{ext}}) = span_{\substack{n=0, \dots, a \\ j=1, \dots, 2n+1}} (H_{-n-1,j}(\alpha; 0)). \quad (11)$$

واضح است که:

$$Harm_{0, \dots, a}(\overline{A_{ext}}) = \bigoplus_{n=0}^a Harm_n(\overline{A_{ext}}), \quad (12)$$

به طوری که:

$$\begin{aligned} \dim(Harm_{0, \dots, a}(\overline{A_{ext}})) &= \sum_{n=0}^a (2n+1) \\ &= (a+1)^2 \end{aligned} \quad (13)$$

هسته (کرنل) $K_{Harm_{0, \dots, a}(\overline{A_{ext}})} : \overline{A_{ext}} \times \overline{A_{ext}} \rightarrow \mathbb{R}$

زیر تعریف می‌شود:

$$K_{Harm_{0, \dots, a}(\overline{A_{ext}})} : \sum_{n=0}^a \frac{2n+1}{4\pi\alpha^2} \left(\frac{\alpha^2}{|x||y|} \right)^{n+1} P_n \left(\frac{x}{|x|} \cdot \frac{y}{|y|} \right) \quad (14)$$

(Double Points) است.

۴- سطح Σ دارای یک میدان برداری مشتق‌پذیر (یا مشتق پذیر μ -هولدر) نرمال یکه ν (یا به صورت دقیق‌تر ν_Σ) که دارای جهت به سمت داخل فضای Σ است.

از جمله این سطوح منظم Σ در علوم زمین می‌توان به بیضوی، اسفو روئید، ژئوئید و سطح منظم زمین اشاره کرد. با معلوم بودن سطح منظم، ثابت‌های α ، β وجود دارد به طوری که:

$$\alpha < \sigma^{\inf} = \inf_{x \in \Sigma} |x| \leq \sup_{x \in \Sigma} |x| = \sigma^{\sup} < \beta \quad (5)$$

نمادهای A_{int} و B_{int} (به همین ترتیب A_{ext} و B_{ext}) مشخص کننده فضای داخلی (به همین ترتیب خارجی) کره A و کره B حول مبداء با شعاع‌های به ترتیب α و β است. نمادهای Σ_{int}^{\inf} و Σ_{int}^{\sup} (به همین ترتیب Σ_{ext}^{\inf} و Σ_{ext}^{\sup}) مشخص کننده فضای داخلی (به همین ترتیب خارجی) کره Σ حول مبداء با شعاع‌های به ترتیب σ^{\inf} و σ^{\sup} است.

۲-۲ هماهنگ‌های خارجی

فرض کنید که $\{Y_{n,j}\}, n = 0, 1, \dots, j = 1, \dots, 2n+1$ یک دستگاه متعامد یکه L^2 از هماهنگ‌های کروی (سطحی) باشد به طوری که (فریدن و اشنایدر، ۱۹۹۸):

$$\begin{aligned} (Y_{n,k}, Y_{p,q})_{L^2(A)} &= \int_A Y_{n,k} \left(\frac{x}{|x|} \right) Y_{p,q} \left(\frac{x}{|x|} \right) d\omega(x) \\ &= \alpha^2 \delta_{np} \delta_{kq} \end{aligned} \quad (6)$$

که در رابطه فوق $d\omega$ مشخص کننده عنصر سطح است. در این صورت دستگاه هماهنگ‌های خارجی $\{H_{-n-1,j}(\alpha; \cdot)\}$ ، $\alpha > 0, n = 0, 1, \dots, j = 1, \dots, 2n+1$ تعریف شده با رابطه زیر:

$$H_{-n-1,j}(\alpha; x) = \frac{1}{\alpha} \left(\frac{\alpha}{|x|} \right)^{n+1} Y_{n,j} \left(\frac{x}{|x|} \right), \quad x \in \overline{A_{ext}} \quad (7)$$

زیرمجموعه K با \sum_{ext} است.

مسئله مقدار مرزی دیریکله به صورت زیر تعریف می شود:
فریدن، ۱۹۸۷:

: (Exterior Dirichlet problem) مسئله دیریکله خارجی
 $U \in Pot^{\{0\}}(\overline{\Sigma_{ext}})$ معلوم است، تابع $F \in C(\Sigma)$ تابع را باید به نحوی که:

$$U_{\sum}^+(x) = \lim_{\substack{\tau \rightarrow 0 \\ \tau > 0}} U(x + \tau \nu(x)) = F(x), \quad x \in \sum. \quad (21)$$

۴-۲ مسئله مقدار مرزی گسسته دیریکله

فرض کنید که Σ یک سطح منظم باشد. مسئله مقدار مرزی گسسته دیریکله را می‌توان به صورت زیر بیان کرد:

فرض کنید که داده‌های $(x_i, F(x_i))$, $i = 1, \dots, N$ از تابع $F \in C(\Sigma)$ متاظر به یک مجموعه X_N از نقاط x_1, \dots, x_N معلوم باشد (فریدن و میشل، ۲۰۰۴):

تقریب U_N از جواب U در فضای بیرونی کرده به نحوی بیابید که U_N در شعاع α حول مبداء همانگ باشد و در روی سطح $F_N = U_N|_{\Sigma}$ دقیقاً همان مقادیر را در نقاط داده شده حاصل کند. به عبارت دیگر $U_N(x_i) = U(x_i)$, $i = 1, \dots, N$ و F_N روی Σ کوچک باشد.

۱-۳ اسپیلاین‌های هماهنگ

فرض کنید که $\sum_{n=1}^{\infty} A_n$ یک سطح منظم و دنباله (A_n) یک دنباله - $\left(\left(\alpha/\alpha^{\inf}\right)^n\right)$ جمع پذیر باشد (فریدن و میشل، ۲۰۰۴). فرض نمائید که $A_n \neq 0$ به ازای همه $n \geq 0$.

$$\sum_{n=0}^{\infty} (2n+1) A_n^{-2} \quad (\text{44})$$

فضای زیر را در نظر بگیرید:

$$\mathcal{H}\left(\left(A_n\left(\frac{\sigma^{\inf}}{\alpha}\right)^n\right); \overline{\sum_{ext}^{\inf}}\right) = \mathcal{H}\left(\left(A_n\right); \overline{A_{ext}}\right)\overline{\sum_{ext}^{\inf}} \quad (\text{44})$$

که هسته خودمولد برای فضا $Harm_{0,\dots,a}(\overline{A_{ext}})$ است.

به طور خلاصه قرار می دهیم:

$$Harm_{0,\dots,a}(\sum) = \left(Harm_{0,\dots,a}(\overline{A}_{ext}) \right) \Big|_{\sum} \quad (15)$$

که در رابطه فوق $\sum \overline{A_{ext}}$ زیرمجموعه است.

۳-۲ مسئله مقدار مرزی دیریکله

فضای همه توابع $U \in C^{(2)}(\sum_{ext})$ که در فضای خارجی \sum_{ext} در معادله لاپلاس صدق می‌کند و در بی‌نهایت منظم هستند (به عبارت دیگر هنگامی که $(|U(x)| = 0(|x|^{-1}), |\nabla_x U(x)| = O(|x|^{-2}), |x| \rightarrow \infty)$ با $k = 0, 1, \dots$ $Pot(\sum_{ext})$ نشان داده می‌شود. به ازای (1998) تعریف می‌کنیم (فریدن و اشنایدر،

$$Pot^{(k)}(\overline{\Sigma_{ext}}) = pot(\Sigma_{ext}) \cap C^{(k)}(\overline{\Sigma_{ext}}) \quad (16)$$

فرض کنید که U از دسته توابع $(\sum_{ext}^{(0)})$ باشد.
دراین صورت از قاعده بیشینه/کمینه برای پتانسیل در
فضای پیرونی می‌توان روابط زیر را به دست آورد:

$$\sup_{x \in \sum_{ext}} |U(x)| \leq \sup_{x \in \sum} |U(x)|, \quad U \in Pot^{(0)}\left(\overline{\sum_{ext}}\right) \quad (1V)$$

$$\sup_{x \in \overline{\sum}_{ext}} |U(x)| \leq \sup_{x \in \sum} \left| \frac{\partial U}{\partial \nu}(x) \right|, \quad U \in Pot^{(1)}\left(\overline{\sum}_{ext}\right) \quad (18)$$

۹

$$\sup_{x \in K} |U(x)| \leq C \left(\int_{\sum} |U(x)|^2 d\omega(x) \right)^{1/2}, \quad U \in Pot^{(0)}(\overline{\sum_{ext}}) \quad (19)$$

$$\sup_{x \in K} |U(x)| \leq C \left(\int_{\Sigma} \left| \frac{\partial U}{\partial \nu}(x) \right|^2 d\omega(x) \right)^{1/2} \quad (\star)$$

که در رابطه فوق C یک ثابت مثبت (مستقل از U) و

از رابطه (۲۷) لم زیر به دست می‌آید:

لم ۱-۳

به ازای هر $x \in \overline{\sum_{ext}^{inf}}$ تابعک خطی D_x تعریف شده از رابطه زیر:

$$D_x : V \mapsto D_x V = V(x), \quad V \in \mathcal{H} \quad (29)$$

روی \mathcal{H} کراندار است (فریدن و همکاران، ۱۹۹۸).

به عبارت دیگر $|D_x V| = |V(x)| \leq C \|V\|_{\mathcal{H}}$ که در آن

از رابطه زیر برآورد می‌شود:

$$\left(\sum_{n=0}^{\infty} A_n^{-2} \frac{2n+1}{4\pi\alpha^2} \left(\frac{\alpha^2}{(\sigma^{inf})^2} \right)^{n+1} \right)^{\frac{1}{2}}. \quad (30)$$

به ازای $x \in \overline{\sum_{ext}^{inf}}$ تابع زیر

$$y \mapsto K_{\mathcal{H}}(y, x), \quad y \in \overline{\sum_{ext}^{inf}} \quad (31)$$

یک عنصر از فضای \mathcal{H} است و به ازای همه

$$D_x V = V(x) = (V, K_{\mathcal{H}}(x, \cdot))_{\mathcal{H}}. \quad (32)$$

۲-۳ درون‌یابی اسپیلاین‌هاهنگ (مسئله درون‌یابی)
مسئله درون‌یابی را می‌توان به صورت زیر تعریف کرد (فریدن و میشل، ۲۰۰۴):

فرض کنید از جواب $F : U \rightarrow \mathbb{R}$ مسئله مقدار مرزی $(x_i, F(x_i)) \in \sum \times \mathbb{R}$ ، $i = 1, \dots, N$ اطلاعات $LU = F$

معلوم باشد. تابع U_N را به نحوی بیابید که:

$$\|U_N\|_{\mathcal{H}} = \inf_{V \in \mathcal{I}_N^F} \|V\|_{\mathcal{H}} \quad (33)$$

و در آن:

$$\mathcal{I}_N^F = \left\{ V \in \mathcal{H} \mid L_{x_i} V = F(x_i), i = 1, \dots, N \right\} \quad (34)$$

مسئله درون‌یابی در چارچوب فضاهای هیلبرت خودمولد \mathcal{H} را می‌توان به روش استاندارد حل کرد. مراحل لازم یادآوری می‌شود. ابتدا اسپیلاین‌های هماهنگ (که گاهی اوقات اسپیلاین‌های لاپلاس نامیده می‌شوند) معرفی

فضای تعریف شده از رابطه (۲۳) با اختصار با \mathcal{H} نمایش داده می‌شود. فضای \mathcal{H} فضای هیلبرت پتانسیل‌های با نمایش زیر است:

$$V = \sum_{n=0}^{\infty} \sum_{k=1}^{2n+1} A_n^{-1} F^{\wedge_{L^2(A)}}(n, k) \times H_{-n-1, k}^{\alpha} \Big| \overline{\sum_{ext}^{inf}}, F \in L^2(A) \quad (24)$$

به طوری که:

$$\|V\|_{\mathcal{H}} = \|F\|_{L^2(A)} \quad (25)$$

قضیه ۱-۳

فضای \mathcal{H} تعریف شده از رابطه (۲۳) و مجهز به ضرب داخلی $_{\mathcal{H}}(\cdot, \cdot)$ یک فضای هیلبرت جدایی‌پذیر دارای هسته خودمولد (Reproducing Kernel) زیر است (فریدن، ۱۹۹۹):

$$K_{\mathcal{H}}(x, y) = \sum_{n=0}^{\infty} \sum_{k=1}^{2n+1} A_n^{-2} H_{-n-1, k}^{\alpha}(x) H_{-n-1, k}^{\alpha}(y) = \sum_{n=0}^{\infty} \sum_{k=1}^{2n+1} A_n^{-2} \left(\frac{\alpha}{\sigma^{inf}} \right)^{2n} H_{-n-1, k}^{\sigma^{inf}}(x) H_{-n-1, k}^{\sigma^{inf}}(y), \quad (26)$$

که در آن $(x, y) \in \overline{\sum_{ext}^{inf}}$ است. دستگاه توابع یک پایه برای فضای هیلبرت \mathcal{H} است.

نامساوی زیر:

$$|V(x)| \leq \left(\sum_{n=0}^{\infty} A_n^{-2} \frac{2n+1}{4\pi\alpha^2} \left(\frac{\alpha^2}{(\sigma^{inf})^2} \right)^{n+1} \right)^{\frac{1}{2}} \|V\|_{\mathcal{H}} \quad (27)$$

به ازای هر $x \in \overline{\sum_{ext}^{inf}}$ و به ازای همه $V \in \mathcal{H}$ برقرار است. بنابراین شرط لازم و کافی برای اینکه \mathcal{H} دارای یک هسته خودمولد باشد برقرار است (ارونسجین، ۱۹۵۰) و بنابراین رابطه زیر برقرار است:

$$V(x) = (K_{\mathcal{H}}(x, \cdot), V)_{\mathcal{H}}, \quad x \in \overline{\sum_{ext}^{inf}} \quad (28)$$

مسئله درون‌یابی زیر

$$\|U_N\|_{\mathcal{H}} = \inf_{V \in \mathcal{I}_N^F} \|V\|_{\mathcal{H}}$$

که در آن:

$$\mathcal{I}_N^F = \{V \in \mathcal{H} | V(x_i) = F(x_i), i = 1, \dots, N\}$$

خوش وضع است. به عبارت دیگر این مسئله دارای جواب یکتا است و جواب تابع پیوسته‌ای از داده‌های $F(x_1), \dots, F(x_N)$ خواهد بود. این جواب یکتا با رابطه زیر بیان می‌شود:

$$U_N^F(x) = \sum_{n=1}^N K_H(x_i, x)a_i, \quad x \in \overline{\Sigma}_{ext}$$

که در آن ضرایب در رابطه زیر صدق می‌کنند:

$$\sum_{n=1}^N K_H(x_i, x_j)a_i = F(x_j), \quad j = 1, \dots, N$$

اکنون فضای \mathcal{H} را چنانچه ضرب داخلی $_{\mathcal{H}_{0,\dots,m}^\perp}$ متناظر به نیم‌نرم تعریف شده از رابطه زیر باشد، در نظر می‌گیریم (فریدن و میشل، ۲۰۰۴):

$$\|V\|_{\mathcal{H}_{0,\dots,m}^\perp} = \left(\sum_{m+1}^{\infty} \sum_{j=1}^{2n+1} A_n^{-2} \left(\frac{\alpha}{\sigma^{\inf}} \right)^{2n} \times \left(V \mid \overline{\Sigma}_{ext}^{\inf}, \mathcal{H}_{n-l,j}^{\sigma^{\inf}} \right)_\mathcal{H}^2 \right)^{1/2} \quad (38)$$

هسته $\mathcal{H}_{0,\dots,m}^\perp$ این نرم $\| \cdot \|_{\mathcal{H}_{0,\dots,m}^\perp}$ یک فضای خطی با بعد $M = (m+1)^2$ است.

با در نظر گرفتن این فضای جدید، مسئله درون‌یابی به صورت زیر به فرمول در می‌آید:

فرض کنید از جواب $U: \overline{\Sigma}_{ext} \rightarrow \mathbb{R}$ مسئله مقدار مرزی $(x_i, F(x_i)) \in \Sigma \times \mathbb{R}, i = 1, \dots, N$ اطلاعات معلوم باشد. مجموعه نقاط $X_N = \{x_1, \dots, x_N\}$ نسبت به $\mathcal{H}_{0,\dots,m}^\perp$ یک دستگاه قابل پذیرش (Admissible) است. تابع U_N را به نحوی بیابید که:

$$\|U_N\|_{\mathcal{H}_{0,\dots,m}^\perp} = \inf_{V \in \mathcal{I}_N^F} \|V\|_{\mathcal{H}_{0,\dots,m}^\perp} \quad (39)$$

لازم به توضیح است که یک دستگاه $X_N \subset \Sigma$ با $N \geq M$ را دستگاهی قابل پذیرش گوییم چنانچه تابع

می‌شوند (فریدن، ۱۹۸۷).

تعريف ۳-۱: فرض کنید که $X_N = \{x_1, \dots, x_N\} \subset \Sigma$ با صورت زیر باشد. هر تابع $U_N \in \mathcal{H}$ با

$$U_N(x) = \sum_{i=1}^N L_{x_i} K_{\mathcal{H}}(x_i, x)a_i, \quad x \in \overline{\Sigma}_{ext}^{\inf} \quad (35)$$

که در آن ضرایب $a_1, \dots, a_N \in \mathbb{R}$ دلخواه‌اند و توابع $L_{x_1} K_{\mathcal{H}}(x_1, \cdot), \dots, L_{x_N} K_{\mathcal{H}}(x_N, \cdot)$ مستقل خطی هستند یک اسپلاین هماهنگ در \mathcal{H} نسبت به دستگاه $X_N \subset \Sigma$ و تابعک‌های L_{x_1}, \dots, L_{x_N} نامیده می‌شود. نتایج زیر به راحتی قابل اثبات است (فریدن و میشل، ۲۰۰۴):

لم ۲-۳

یک اسپلاین هماهنگ U_N^F در \mathcal{H} نسبت به X_N وجود دارد که داده‌ها را درون‌یابی می‌کند. به عبارت دیگر $L_{x_i} U_N^F = F(x_i), i = 1, \dots, N$ است.

لم ۳-۳

به ازای همه درون‌یاب‌های $V \in \mathcal{I}_N^F$ و همه اسپلاین‌های U_N رابطه زیر برقرار است:

$$\|U_N - V\|_{\mathcal{H}}^2 = \|U_N^F - V\|_{\mathcal{H}}^2 + \|U_N - U_N^F\|_{\mathcal{H}}^2 \quad (36)$$

لم ۴-۳

چنانچه $V \in \mathcal{I}_N^F$ باشد در این صورت رابطه زیر برقرار است:

$$\|V\|_{\mathcal{H}}^2 = \|U_N^F\|_{\mathcal{H}}^2 + \|U_N^F - V\|_{\mathcal{H}}^2 \quad (37)$$

قضیه ۲-۳

فرض کنید که از تابع $F \in \mathcal{H}| \Sigma$ نقاط داده $(x_i, F(x_i)) \in \Sigma \times \mathbb{R}, i = 1, \dots, N$ معلوم باشد. در این صورت عبارت زیر برقرار است (فریدن و میشل، ۲۰۰۴):

مسئله دیریکله خارجی گسسته: فرض کنید که $U \in \mathcal{H}| \overline{\Sigma}_{ext}$, $U^+ = U| \Sigma = F$ باشد. در این صورت

$$\begin{aligned}
K_{\mathcal{H}_{0,\dots,m}^{\perp}}(x,y) &= K_{\mathcal{H}_{0,\dots,m}^{\perp}}(x,y) \\
&- \sum_{i=1}^M \left(L_{x_i} K_{\mathcal{H}_{0,\dots,m}^{\perp}}(x_i, x) \right) B_i(y) \\
&- \sum_{i=1}^M B_i(x) \left(L_{x_i}, K_{\mathcal{H}_{0,\dots,m}^{\perp}}(y, x_i) \right) \\
&+ \sum_{i=1}^M \sum_{j=1}^M B_i(x) \left(L_{x_i} L_{x_j} K_{\mathcal{H}_{0,\dots,m}^{\perp}}(x_j, x_i) \right) B_j(y)
\end{aligned} \tag{۴۵}$$

که در این رابطه

$$\begin{aligned}
K_{\mathcal{H}_{0,\dots,m}^{\perp}}(x,y) &= \sum_{i=1}^M \frac{2n+1}{4\pi\alpha^2} A_n^{-2} \\
&\times \left(\frac{\alpha^2}{|x||y|} \right)^{n+1} P \left(\frac{x}{|x|} \cdot \frac{y}{|y|} \right)
\end{aligned} \tag{۴۶}$$

که در آن $x \in \bar{\Sigma}_{ext}^{\inf}$ است. به ازای هر $x, y \in \bar{\Sigma}_{ext}^{\inf}$ می‌توان نشان داد که $K_{\mathcal{H}_{0,\dots,m}^{\perp}}(x,y)$ عضوی از فضای

$\mathcal{H}_{0,\dots,m}^{\perp}$ است و ویژگی

$$\overset{\circ}{V}(x) = \left(K_{\mathcal{H}_{0,\dots,m}^{\perp}}(x, \cdot), \overset{\circ}{V} \right)_{\mathcal{H}_{0,\dots,m}^{\perp}} \tag{۴۷}$$

به ازای هر $\overset{\circ}{V} \in \mathcal{H}_{0,\dots,m}^{\perp}$ و $x \in \bar{\Sigma}_{ext}^{\inf}$ برقرار است. با توجه به اینکه به ازای هر $L_x, x \in \Sigma$ ، L_x روی فضای $\mathcal{H}_{0,\dots,m}^{\perp}$ کراندار است لذا به ازای $y \in \bar{\Sigma}_{ext}^{\inf}$

$y \mapsto L_x K_{\mathcal{H}_{0,\dots,m}^{\perp}}(x, y)$ نمایشگر است.

اکنون می‌توان به مسئله یافتن نرم‌ترین درونیاب به صورت زیر پاسخ گفت:

قضیه ۳-۳

فرض کنید که از تابع $F \in \mathcal{H}|\Sigma$ نقاط داده معلوم $(x_i, F(x_i)) \in \Sigma \times \mathbb{R}, i = 1, \dots, N$ باشد. در این صورت عبارات زیر برقرار هستند:

مسئله دیریکله خارجی گستته: فرض کنید که $U \in \mathcal{H}|\bar{\Sigma}_{ext}$, $U^+ = U|\Sigma = F$ باشد. در این صورت مسئله درونیابی زیر

یکتای $\mathcal{P} \in \mathcal{H}_{0,\dots,m}$ وجود داشته باشد، به قسمی که به ازای هر مجموعه از اسکالرهای حقیقی $\alpha_1, \dots, \alpha_M$ در شرایط درونیابی $L_{x_i} P = \alpha_i, i = 1, \dots, M$ صدق کند.

چنانچه $X_N \subset \Sigma$ یک دستگاه قابل پذیرش نسبت به $\mathcal{H}_{0,\dots,m}$ باشد، آن‌گاه در $\mathcal{H}_{0,\dots,m}$ یک پایه یکتای B_1, \dots, B_M به صورت زیر وجود دارد:

$$\begin{aligned}
B_j(x) &= \sum_{i=1}^M C_i^j \sum_{n=0}^m A_n^{-2} \frac{2n+1}{4\pi\alpha^2} L_{x_i} \times \\
&\left(\left(\frac{\alpha^2}{|x||x_i|} \right)^{n+1} P_n \left(\frac{x}{|x|} \cdot \frac{x_i}{|x_i|} \right) \right), \quad x \in \bar{\Sigma}_{ext}^{\inf}
\end{aligned} \tag{۴۰}$$

که در رابطه زیر صدق می‌کند:

$$L_{x_i} B_j = \delta_{ij}, \quad i, j = 1, \dots, M \tag{۴۱}$$

به ازای هر $V \in \mathcal{H}$ ، درونیاب یکتای pV روی دستگاه قابل پذیرش X_M با فرمول لاگرانژ زیر داده شده است:

$$pV = \sum_{i=1}^M (L_{x_i}, V) B_i \tag{۴۲}$$

نگاشت $p: \mathcal{H} \rightarrow \mathcal{H}_{0,\dots,m}$ یک تصویرگر پیوسته، خطی از \mathcal{H} به $\mathcal{H}_{0,\dots,m}$ ، و p تعیین‌کننده جمع مستقیم زیر است:

$$\mathcal{H} = \mathcal{H}_{0,\dots,m} \oplus \mathcal{H}_{0,\dots,m}^{\perp} \tag{۴۳}$$

با

$$\begin{aligned}
\mathcal{H}_{0,\dots,m}^{\perp} &= \mathcal{H}_{0,\dots,m}^{\perp} \left(\left(A_n \left(\frac{\sigma^{\inf}}{\alpha} \right)^n \right); \bar{\Sigma}_{ext}^{\inf} \right) \\
&= \{ V \in \mathcal{H} | L_{x_i} V = 0, i = 1, \dots, M \}
\end{aligned} \tag{۴۴}$$

فضای $\mathcal{H}_{0,\dots,m}^{\perp}$ تعریف شده با رابطه (۴۴) مجهز به ضرب داخلی $(\cdot, \cdot)_{\mathcal{H}_{0,\dots,m}^{\perp}}$ یک فضای هیلبرت است. به آسانی می‌توان تحقیق کرد که فضای $\mathcal{H}_{0,\dots,m}^{\perp}$ دارای هسته خودمولد بیان شده با رابطه زیر است:

ضرایب از دستگاه خطی زیر تعیین می‌شوند:

$$(\mathbf{K}_H + \lambda \mathbf{B}^{-1})\mathbf{a} = \mathbf{F}, \quad \mathbf{F} = (F_1, \dots, F_N) \quad (50)$$

با استی توجه داشت که \mathbf{K}_H و \mathbf{B} معین مثبت و درنتیجه ماتریس $(\mathbf{K}_H + \lambda \mathbf{B}^{-1})$ معین مثبت است. دستگاه معادلات بالا دارای جواب یکتا است.

برای حل مسئله بیان شده با رابطه (50)، با استی ابتدا پارامتر λ تعیین شود. برای تعیین پارامتر λ می‌توان از روش (GCV, Generalized Cross-Validation) استفاده کرد (هانسن، ۱۹۹۸ و وهبا، ۱۹۹۰). پارامتر پایدارسازی بهینه λ در این روش طوری انتخاب می‌شود که تابع G با تعریف زیر را کمینه سازد:

$$\begin{aligned} G(\lambda) &= \\ &\frac{\|\mathbf{K}_H \mathbf{a}_\lambda - \mathbf{F}\|_2^2}{\left[\text{trace} \left[\mathbf{I}_N - \mathbf{K}_H \left(\mathbf{K}_H^T \mathbf{K}_H + \lambda^2 \mathbf{I}_N \right)^{-1} \mathbf{K}_H^T \right] \right]^2} \\ &= \frac{\nu(\lambda)}{\tau(\lambda)} \end{aligned} \quad (51)$$

که در رابطه فوق تابع $v(\lambda)$ و $\tau(\lambda)$ به صورت زیر تعریف می‌شوند:

$$\nu(\lambda) = \frac{\|\mathbf{K}_H \mathbf{a}_\lambda - \mathbf{F}\|_2^2}{\tau(\lambda)} \quad (52)$$

$$\begin{aligned} \tau(\lambda) &= \\ &\text{trace} \left[\mathbf{I}_N - \mathbf{K}_H \left(\mathbf{K}_H^T \mathbf{K}_H + \lambda^2 \mathbf{I}_N \right)^{-1} \mathbf{K}_H^T \right] \end{aligned} \quad (53)$$

در روابط فوق a_λ ضرایب مجهول به ازای مقدار λ و \mathbf{I}_N ماتریس یکه به بعد N است.

۴-۳ مثال‌های از انواع هسته (کرنل)‌ها

به ازای بعضی دنباله‌های جمع‌پذیر خاص $\{A_n\}_{n \in \mathbb{N}_0}$ می‌توان نمایش هسته خودمولد را با استفاده از قضیه جمع برای هماهنگ‌های کروی به صورت تابع مقدماتی به دست آورد. در این بخش مثال‌هایی از آن مطرح می‌شود.

$$\|U_N^F\|_{\mathcal{H}_{0,\dots,m}^\perp} = \inf_{V \in \mathcal{I}_N^F} \|V\|_{\mathcal{H}_{0,\dots,m}^\perp}$$

که در آن:

$\mathcal{I}_N^F = \{V \in \mathcal{H} | V(x_i) = F(x_i), i = 1, \dots, N\}$ خوش وضع است. به عبارت دیگر این مسئله دارای جواب یکتا، و جواب تابع پیوسته‌ای از داده‌های $F(x_1), \dots, F(x_N)$ است. این جواب یکتا با رابطه زیر بیان می‌شود:

$$\begin{aligned} U_N^F(x) &= \sum_{i=1}^M F(x_i) B_i(x) \\ &+ \sum_{n=M+1}^N K_{\mathcal{H}_{0,\dots,m}^\perp}^\circ(x_n, x) a_n, \quad x \in \overline{\Sigma_{ext}^{inf}} \end{aligned}$$

که در آن ضرایب a_{M+1}, \dots, a_N در رابطه زیر صدق می‌کنند:

$$\begin{aligned} \sum_{i=M+1}^N K_{\mathcal{H}_{0,\dots,m}^\perp}^\circ(x_i, x_j) a_i &= F(x_j) \\ &- \sum_{n=1}^M F(x_n) B_n(x_j) \quad j = M+1, \dots, N \end{aligned}$$

۳-۳ اسپیلاین‌های هموارسازی (Smoothing Splines) عملاً مشاهدات به خط آلوده هستند. در این حالت داده‌ها درون‌یابی با استی با هموارسازی جایگزین شوند (فریدن، ۱۹۸۱؛ فریدن، ۱۹۹۹؛ موریتز، ۱۹۸۰ و وهبا، ۱۹۹۰). به طور دقیق تر چنانچه کمیت‌های $F(x_1), \dots, F(x_N)$ با خط همراه باشند، لذا برای تابع درون‌یابی:

$$L_{x_i} V \approx F(x_i), \quad i = 1, \dots, N \quad (48)$$

منظور از هموارسازی این است که کمیت زیر:

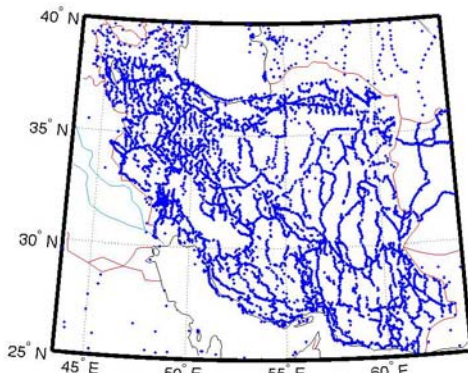
$$\begin{aligned} \mu(V) &= \sum_{i=1}^N \sum_{l=1}^N (L_i V - F_i) B_{il} (L_l V - F_l) \\ &+ \lambda \|V\|_{\mathcal{H}} \end{aligned} \quad (49)$$

که در آن $V \in \mathcal{H}$ ، کمینه شود. در رابطه فوق λ یک ثابت مثبت و B_{il} یک ماتریس معین مثبت است.

ثابت-آزاد در شکل ۳ نشان داده شده است. به منظور محاسبه ژئوئید دریایی از رابطه زیر استفاده شده است (صفری و همکاران، ۲۰۰۵):

$$N = h_{MSL} - h_{SST} \quad (57)$$

که در رابطه فوق h_{MSL} نشان‌دهنده ارتفاع سطح متوسط دریا و h_{SST} نشان‌دهنده توپوگرافی سطح دریا است. جهت محاسبه سطح متوسط دریا از مدل جهانی CSRMSS95 استفاده شد. این مدل سطح متوسط آب دریا از مشاهدات ارتفاع‌سنجدی ماهواره‌ای حاصل شده است. به منظور محاسبه این سطح متوسط از داده‌های حاصل از ماهواره ERS-1، TOPEX/POSEIDON، ماهواره Geosat و ماهواره POCM-4B استفاده شده است (کیم و همکاران، ۱۹۹۵). برای محاسبه توپوگرافی سطح آب دریا در خلیج فارس و دریای عمان نیز از مدل (Global Parallel Ocean Circulation Model) POCM-4B استفاده شده است. این مدل از راه مشاهدات روزانه میدان تنش باد (Wind stress field) و مشاهدات ماهانه جریان‌های گرمایی سطح متوسط آب دریا (Mean sea surface heat fluxes) از ۱۹۸۷ تا ۱۹۹۴ به دست آمده است (استامر و همکاران، ۱۹۹۶). این مدل از بسط هماهنگ‌های کروی تا درجه و مرتبه ۳۶۰ بیان می‌شود (رپ، ۱۹۹۸).



شکل ۱. توزیع نقاط در بانک داده BGI

۱- هسته از نوع آبل-پواسون با ...:

$$K_H(x, y) = \frac{1}{4\pi} \frac{|x|^2 |y|^2 - \alpha^4}{(|x|^2 |y|^2 - 2(x \cdot y)\alpha^2 + \alpha^4)^{\frac{3}{2}}} \quad (54)$$

۲- هسته از نوع تکینه با ...:

$$K_H(x, y) = \frac{1}{2\pi} \frac{1}{(|x|^2 |y|^2 - 2(x \cdot y)\alpha^2 + \alpha^4)^{\frac{1}{2}}} \quad (55)$$

۳- هسته از نوع لگاریتمی با ...:

$$A_n = (2n+1)(n+1), n = 0, 1, \dots \quad (56)$$

$$K_H(x, y) = \frac{1}{4\pi\alpha^2} \ln(1 + \frac{2\alpha^2}{(|x|^2 |y|^2 - 2(x \cdot y)\alpha^2 + \alpha^4)^{\frac{1}{2}} + |x||y| - \alpha^2})$$

۴ بررسی موردی: تعیین شتاب گرانی متوسط در منطقه ایران

در این بخش کاربرد مدل‌های ژئوپتانسیل با درجه و مرتبه بالا، مدل‌های رقومی زمین و اسپیلانهای هماهنگ برای تعیین شتاب گرانی متوسط در شبکه ترازیابی درجه‌یک ایران عرضه می‌شود.

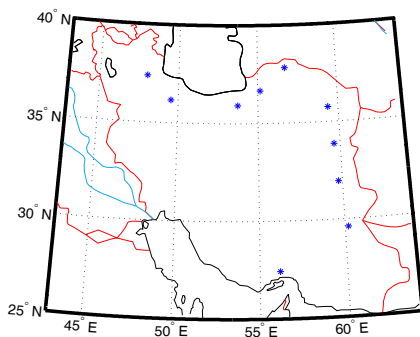
برای تعیین پتانسیل گرانی تفاضلی در روی سطح بیضوی مرجع از داده‌های مرزی (۱) شتاب گرانی حاصل از گرانی‌سنجدی زمینی موجود در بانک داده BGI (۲) داده‌های طول و عرض نجومی درجه‌یک و (۳) داده‌های حاصل از ارتفاع‌سنجدی ماهواره‌ای استفاده شد. در شکل ۱ توزیع داده‌های شتاب گرانی در بانک داده BGI استفاده شده در این تحقیق نشان داده شده است. شکل ۲ نشان‌دهنده موقعیت نقاط نجومی مورد استفاده به مثابه داده مرزی در این تحقیق است. تغییرات ژئوئید دریایی استفاده شده در حکم داده مرزی در مسئله مقدار مرزی با مرز

شده در بخش قبل استفاده شد. برای این کار از یک $\left(\frac{\alpha}{\sigma^{\text{inf}}} = 0.996\right)$ درون یاب آبل-پواسون ($A_n = 1$) با استفاده شد. شکل ۵ تغییرات پارامتر هموارسازی براساس روش GCV را نشان می‌دهد (هانسن، ۱۹۹۸ و وها، ۱۹۹۰). براساس این روش پارامتر هموارسازی بهینه برابر 4.5278×10^{-10} حاصل شد. بعد از حل مسئله مقدار مرزی برای پتانسیل گرانی تفاضلی با اعمال عملگرهای خطی می‌توان سایر کمیت‌های گرانی نظری شتاب گرانی تفاضلی را به دست آورد (جکلی، ۲۰۰۵). ارتباط بین شتاب گرانی تفاضلی $\delta\Gamma^L$ و پتانسیل گرانی تفاضلی δW^L در هر نقطه به صورت زیر تعریف می‌شود (اردلان و گرافارند، ۲۰۰۴):

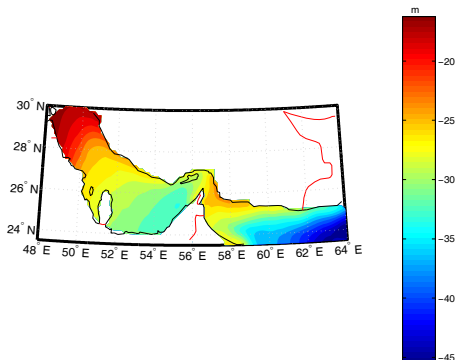
$$\delta\Gamma^L = \nabla_{e_\gamma} \delta W^L \quad (58)$$

که در رابطه فوق ∇_{e_γ} به مفهوم گرادیان در راستای بردار مرجع e_γ است. لذا برای تعیین شتاب گرانی تفاضلی در هر نقطه از فضای خارج بیضوی مرجع می‌توان عملگر گرادیان ∇_{e_γ} را به پتانسیل گرانی تفاضلی δW^L حاصل از جواب مسئله دیریکله اعمال کرد. شکل ۶ نشان‌دهنده تغییرات شتاب گرانی تفاضلی روی سطح بیضوی مرجع است.

اکنون با در اختیار داشتن پتانسیل گرانی تفاضلی در منطقه ایران حاصل از حل مسئله دیریکله می‌توان شتاب گرانی متوسط را در نقاط گوناگون منطقه ایران از روش پیشنهاد شده به دست آورد. تغییرات ارتفاعی در ایران حاصل از مدل SRTM در شکل ۷ نشان داده شده است. با اعمال عملگر گرادیان به پتانسیل گرانی تفاضلی در نقطه واقع در ارتفاع متوسط می‌توان شتاب گرانی تفاضلی را محاسبه کرد. شکل ۸ نشان‌دهنده تغییرات شتاب گرانی تفاضلی محاسبه شده در نقاط با ارتفاع متوسط در منطقه ایران است. اکنون با معلوم بودن شتاب گرانی تفاضلی، به منظور به دست آوردن شتاب گرانی متوسط اثرات میدان



شکل ۲. توزیع نقاط نهومی درجه یک در ایران.

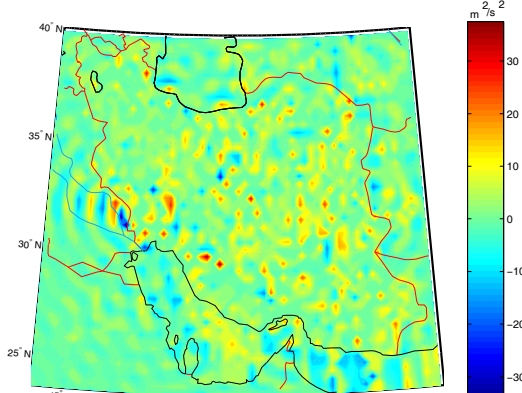


شکل ۳. تغییرات ژئوئید دریابی در خلیج فارس حاصل از مشاهدات ارتفاع‌سنجی ماهواره‌ای.

داده‌های فوق در حکم داده مرزی در مسئله مقدار دو مرزی با مرز ثابت-آزاد داده شده در جدول ۱ استفاده شد. با حل این مسئله مقدار مرزی پتانسیل گرانی تفاضلی روی سطح بیضوی مرجع تعیین می‌شود. برای جزئیات مربوط به نحوه حل این مسئله مقدار مرزی و تعیین پتانسیل گرانی تفاضلی روی سطح بیضوی مرجع می‌توان به (اردلان و صفری، ۲۰۰۴) و (صفری و همکاران، ۲۰۰۵) مراجعه کرد. شکل ۴ نشان‌دهنده تغییرات پتانسیل گرانی تفاضلی حاصل از حل مسئله مقدار مرزی با داده‌های مرزی فوق در روی سطح بیضوی مرجع است (اردلان و صفری، ۲۰۰۴).

با در اختیار داشتن پتانسیل گرانی تفاضلی روی بیضوی می‌توان مسئله مقدار مرزی جدول ۲ را برای تعیین پتانسیل گرانی تفاضلی در هر نقطه خارج بیضوی حل کرد. برای این کار از روش اسپیلینین‌های هماهنگ عرضه

یکی دیگر از راههای بررسی روش پیشنهادی، محاسبه شتاب گرانی در نقاط شبکه ترازیابی دقیق ایران (شکل ۱۳) است. به این منظور ابتدا با استفاده از روش پیشنهادی در نقاط شبکه ترازیابی دقیق ایران، شتاب گرانی تفاضلی تولید شد و سپس به منظور محاسبه شتاب گرانی اثرات حذف شده، شامل اثر حاصل از جرم‌های در فاصله نزدیک، اثر حاصل از بسط هماهنگ‌های تا درجه و مرتبه ۳۶۰ و اثر گریز از مرکز بازگردانده شد. شتاب گرانی محاسبه شده در این نقاط با شتاب گرانی اندازه‌گیری شده مقایسه شد. اطلاعات آماری مربوط به این مقایسه در جدول ۳ آمده است. این آزمون دوباره با استفاده از انگرال آبل-پواسون (صفری و همکاران، ۲۰۰۵) صورت گرفت. با استفاده از انگرال آبل-پواسون شتاب گرانی تفاضلی در نقاط شبکه ترازیابی درجه یک ایران تولید شد و به منظور محاسبه شتاب گرانی در این نقاط، اثرات حذف شده بازگردانده شد. شتاب گرانی محاسبه شده به این روش در این نقاط، با شتاب گرانی اندازه‌گیری شده مقایسه و اطلاعات آماری مربوط به این مقایسه در جدول ۴ آورده شد. مقایسه نتایج در جداول ۳ و ۴ به خوبی برتری روش پیشنهادی را بر استفاده مستقیم از انگرال آبل-پواسون نشان می‌دهد.

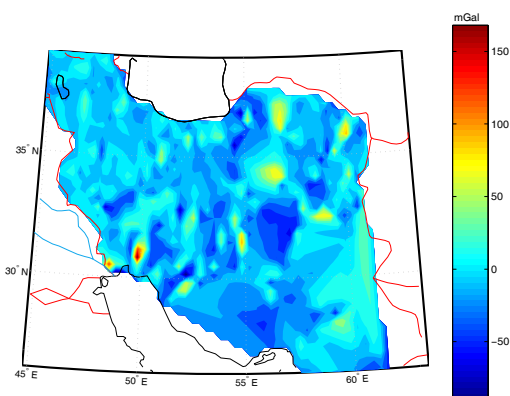


شکل ۴. تغییرات پتانسیل گرانی تفاضلی روی سطح بیضوی مرجع در منطقه ایران.

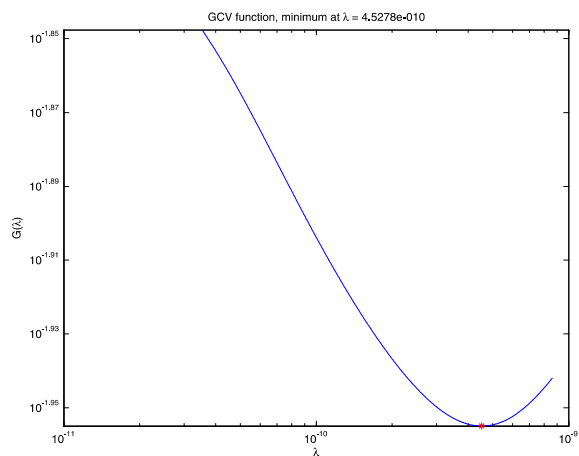
مرجع و اثر جرم‌های در فاصله نزدیک در نقطه با ارتفاع متوسط بازگردانده می‌شود.

شکل ۹ نقشه تغییرات شتاب گرانی مرجع حاصل از بسط هماهنگ‌های تا درجه و مرتبه ۳۶۰ و اثر میدان گریز از مرکز محاسبه شده در نقاط با ارتفاع متوسط در منطقه ایران را نشان می‌دهد. به منظور محاسبه اثر میدان جاذبه از بسط هماهنگ‌های بیضوی تا درجه و مرتبه ۳۶۰ حاصل از مدل ژئوپتانسیل EIGEN-GL04C (فورست و همکاران، ۲۰۰۵) استفاده شد. ضرایب این مدل به صورت کروی است که با استفاده از رابطه بین ضرایب هماهنگ‌های بیضوی و کروی، ضرایب این مدل در دستگاه بیضوی استخراج شد (جکلی، ۱۹۸۸). شکل ۱۰ نشان‌دهنده تغییرات اثر جرم‌های در فاصله نزدیک در نقطه مورد محاسبه است. به منظور محاسبه اثر جرم‌های در فاصله نزدیک ۵۵ کیلومتر اطراف نقطه از روش پیشنهادی (اردلان و صفری، ۲۰۰۴) استفاده شد. نقشه تغییرات شتاب گرانی حاصل از بسط هماهنگ‌های بیضوی تا درجه و مرتبه ۳۶۰، اثر میدان گریز و اثر جرم‌های در فاصله نزدیک در نقطه با ارتفاع متوسط در منطقه ایران در شکل ۱۱ آورده شده است. با در اختیار داشتن شتاب گرانی تفاضلی، اثر جرم‌های در فاصله نزدیک ۵۵ کیلومتر اطراف نقطه مورد محاسبه و شتاب گرانی مرجع حاصل از بسط هماهنگ‌های تا درجه و مرتبه ۳۶۰ و اثر میدان گریز از مرکز محاسبه شده در نقطه با ارتفاع متوسط می‌توان شتاب گرانی متوسط را تعیین کرد. شکل ۱۲ نشان‌دهنده تغییرات شتاب گرانی متوسط در نقاط با ارتفاع متوسط در منطقه ایران است.

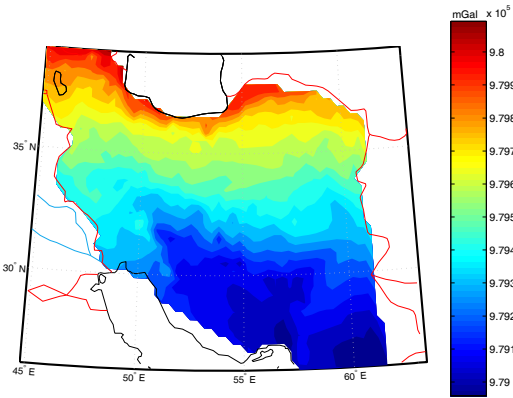
روش پیشنهادی با روش هلمرت (هیسکانن و موریتز، ۱۹۶۷) برای محاسبه شتاب گرانی متوسط در نقاط با ارتفاع متوسط در محل نقاط ترازیابی درجه یک ایران (شکل ۱۳) مقایسه، و نتیجه اختلاف در شکل ۱۴ نشان داده شده است.



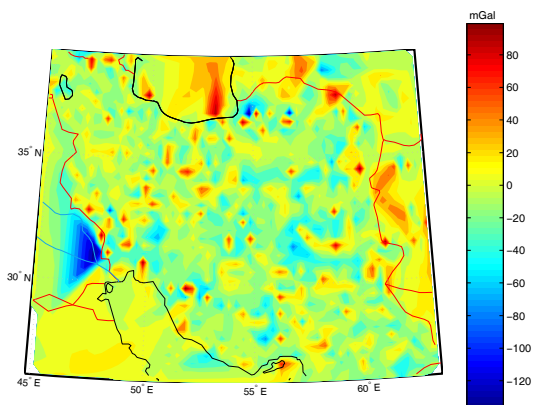
شکل ۸. نقشه تغییرات شتاب گرانی تفاضلی در نقطه با ارتفاع متوسط در منطقه ایران براساس روش پیشنهادی.



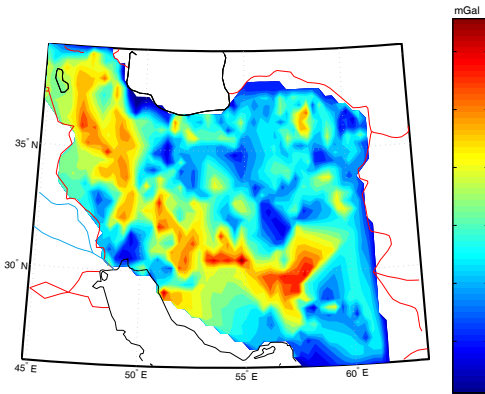
شکل ۵. منحنی GCV و نقطه حداقل منحنی در حکم پارامتر هموارسازی
 4.5278×10^{-10}



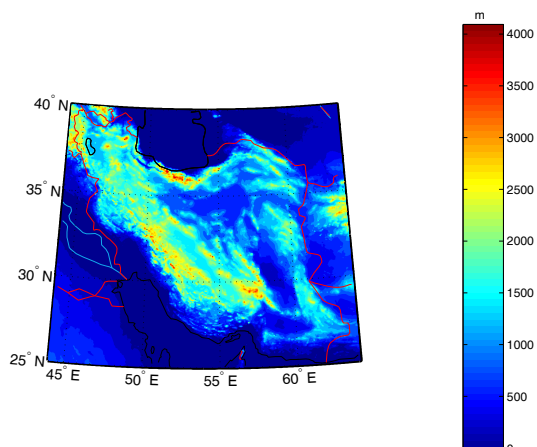
شکل ۹. نقشه تغییرات شتاب گرانی مرجع حاصل از بسط هماهنگ‌های بیضوی تا درجه و مرتبه ۳۶۰ و اثر میدان گریز از مرکز در نقطه با ارتفاع متوسط در منطقه ایران.



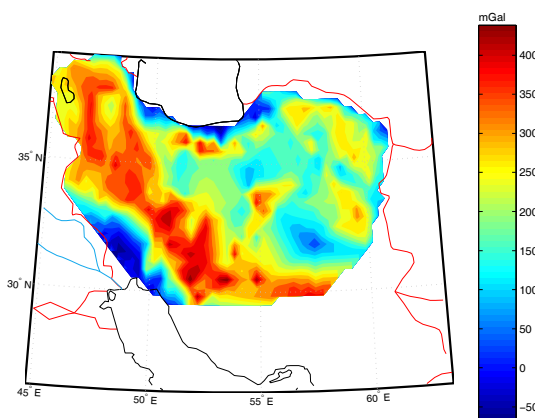
شکل ۶. تغییرات شتاب گرانی تفاضلی روی سطح بیضوی مرجع.



شکل ۱۰. نقشه تغییرات اثر جرم‌های در فاصله نزدیک در نقطه با ارتفاع متوسط در منطقه ایران.



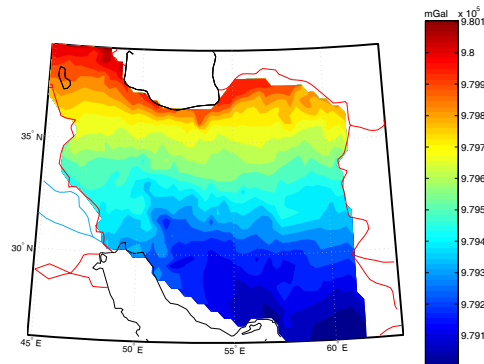
شکل ۷. تغییرات ارتفاع در منطقه ایران حاصل از مدل SRTM



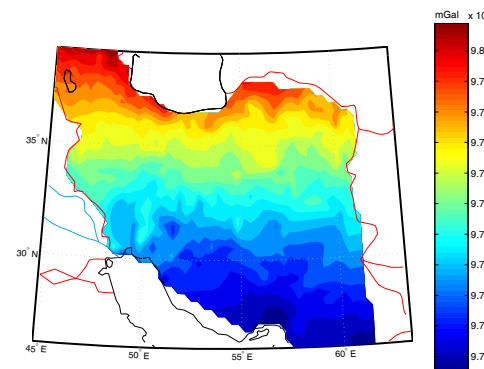
شکل ۱۴. نقشه تغییرات نفاوت شتاب گرانی متوسط محاسبه شده براساس روش پیشنهادی و روش هلمرت.

جدول ۴. اطلاعات آماری اختلاف بین شتاب گرانی تولید شده با استفاده مستقیم از انتگرال آبل-پواسون و شتاب گرانی در ایستگاه‌های شبکه درجه یک (برحسب میلی گال).

کمبینه	میانگین	بیشینه	انحراف معیار
-9.3566×10^6	-15104.59	-1.7608×10^6	2.920×10^5

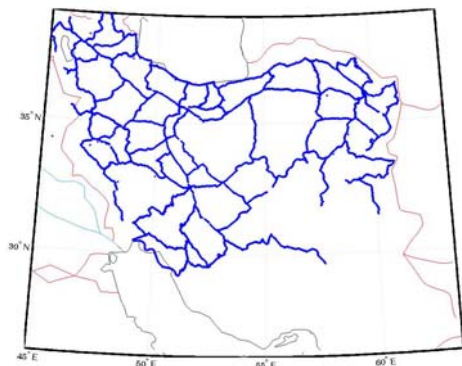


شکل ۱۱. نقشه تغییرات شتاب گرانی حاصل از بسط هماهنگ‌های بیضوی تا درجه و مرتبه ۳۶۰، اثر میدان گریز و اثر جرم‌های در فاصله نزدیک در نقطه با ارتفاع متوسط در منطقه ایران.



شکل ۱۲. نقشه تغییرات شتاب گرانی متوسط محاسبه شده براساس روش پیشنهادی.

در این مقاله روشی جدید برای تعیین شتاب گرانی متوسط براساس محاسبه شتاب گرانی تفاضلی، مدل‌های ژئوپتانسیلی و مدل‌های رقومی زمین عرضه شد. مزیت این روش در استفاده از مدل‌های ژئوپتانسیل جدید با درجه و مرتبه بالا، مدل‌های رقومی زمین و استفاده از مشاهدات متغروت میدان گرانی زمین در چارچوب یک مسئله مقدار مرزی برای تعیین شتاب گرانی متوسط است. از حل مسئله مقدار مرزی ثابت-آزاد، پتانسیل گرانی تفاضلی در سطح بیضوی مرجع تعیین شد. پتانسیل گرانی تفاضلی در خارج بیضوی مرجع در معادله لاپلاس صدق می‌کند. پس از حل مسئله دیریکله پتانسیل گرانی تفاضلی در فضای خارج بیضوی مرجع تعیین شد. پس از اعمال عملگر گرادیان، شتاب گرانی تفاضلی، در نقطه با ارتفاع متوسط تعیین شد. پس از بازگرداندن اثرات حذف شده در این نقطه شتاب



شکل ۱۳. توزیع نقاط در امتداد شبکه ترازیابی ایران.

جدول ۳. اطلاعات آماری اختلاف بین شتاب گرانی تولید شده به روش پیشنهادی و شتاب گرانی در ایستگاه‌های شبکه درجه یک (برحسب میلی گال).

کمبینه	میانگین	بیشینه	انحراف معیار
-287.83	-24.53	190.31	47.28

- Part. Diff. Equations, **3**, 375-398.
- Freeden, W., 1987, Harmonic splines for solving boundary value problems of potential theory, in: Algorithms for Approximation (Mason, J.C., Cox, M.G., eds), The institute of mathematics and its applications, conferences series, **10**, Clarendon Press, Oxford, 507-529.
- Freeden, W., 1987, Metaharmonic splines for solving the exterior Dirichlet problem of the Helmholtz Equation, in: Topics in: Multivariate Approximation Theory (Chui, C. K., Schumaker, L. L., Utreras, F., eds), Academic Press, Boston, 99-110.
- Freeden, W., 1990, Spherical splines approximation and its application in physical geodesy, in: Topics in: Geophysical Data Inversion Methods and applications, A. et al. (eds), Vieweg Publication, Braunschweig, 79-104.
- Freeden, W., 1999, Multiscale modeling of spaceborne Geodata, B.G. Teubner, Leipzig.
- Freeden, W., Grevens, T. and Schreiner, M., 1998, Constructive approximation on the sphere (With Applications to Geomathematics), Oxford Science Publications, Clarendon, Oxford.
- Freeden, W. and Kersten, H., 1980, The geodetic boundary value problem using the known surface of the Earth. RWTH Aachen, Heft 29.
- Freeden, W. and Michel, V., 2004, Multiscale potential theory with application to geoscience. Birkhauser, Boston.
- Freeden, W. and Schneider, F., 1998, Wavelet approximation on closed surfaces and their application to boundary-value problems of theory potential, Math. Meth. In the appli. Sci., **21**, 129-165.
- Hansen, P. C., 1998, Regularization tools, A MATLAB package for analysis and solution of discrete ill-posed problems, Department of mathematical modeling building 305, technical university of Denmark, Dk-2800 Lyngby, Denmark.
- Heiskanen, W. and Moritz, H., 1967, Physical Geodesy, W. H. Freeman, San Francisco, Calif.
- Jekeli, C., 1988, The exact transformation between ellipsoidal and spherical harmonic expansions, Manuscripta geodaetica **13**, 106-113.
- Jekeli, C., 2000, Heights, the geopotential, and vertical datums, Geodetic science and surveying, Department of civil and environmental engineering and geodetic science, The Ohio State University, Report No.459.
- Jekeli, C., 2005, Spline representations of functions on a sphere for geopotential modeling, Ohio state University, report No. 475.
- Kao, S. P., Rongshin, H. and Ning, F. S., 2000,

گرانی متوسط محاسبه شد. روش عرضه شده به صورت عددی در منطقه جغرافیایی ایران به طور موفقیت آمیز آزمایش شد.

تشکر و قدردانی

از حمایت مالی دانشگاه تهران از این تحقیق در قالب طرح پژوهشی شماره ۸۱۰۸۰۱۲/۱۰۵ قدردانی می شود.

منابع

- آزموده اردلان، ع.، جزایری، ش.، ۱۳۸۴، روشی برای محاسبه شتاب گرانشی متوسط در داخل زمین به منظور افزایش دقت ارتفاع ارتو متريک، مجله فيزيك زمين و فضا، جلد ۳۱، شماره ۲.
- Ardalan, A. A. and Grafarend, E. W., 2004, High-resolution regional geoid computation without applying Stokes's formula: a case study of the Iranian geoid, Journal of Geodesy **78**, 138-156.
- Ardalan, A. A. and Safari, A., 2004, Terrain correction on the multi-cylindrical equal area map projection of the surface of the reference ellipsoid, Journal of Geodesy **78**, 114-123.
- Aronszajn, N., 1950, Theory of reproducing kernels, Trans. Amer. Soc, **68**, 337-404.
- Dennis, M. L. and Featherstone, W. E., 2003, Evaluation of orthometric and related height systems using a simulated mountain gravity field, In: Tziavos IN (ed) Gravity and geoid 2002, Department of Survey and Geodesy, Aristotle Univ Thessaloniki, 389-394.
- Forste, C., Flechhtner, F., Schmidt, R., Meyer, U., Stubenvoll, R., Barthelmes, F., Konig, R., Neumayer, KH., Rothacher, M., Reigber, Ch., Biancale, R., Bruinsma, S., Lemoine, J. M. and Raimondo, J. C., 2005, A new high resolution global gravity model derived from combination of GRACE and CHAMP mission and altimetry-gravimetry surface gravity data, Poster g004 EGU-A-04561 presented at EGU General Assembly 2005, Vienna, Austria, 24-29.
- Freeden, W., 1981, On spherical spline interpolation and approximation, Math. Meth in the Appl. Sci., **3**, 551-575.
- Freeden, W., 1981, On approximation by harmonics splines, Manusc. Geod., **6**, 193-244.
- Freeden, W., 1987, A spline interpolation method for solving boundary value problems of potential theory from discretely given data, Numer. Meth.

- G'eod 56, 300–311.
- Sunkel, H., 1986, Digital height and density model and its use for the orthometric height and gravity field determination for Austria, In: Proceedings of international symposium on the definition of the geoid, Florence, 599–604.
- Tenzer, R. and Van'icek, P., 2003, Correction to Helmert's orthometric height due to actual lateral variation of topographical density, Brazilian J Cartography – Revista Brasileira de Cartografia 55(2), 44–47.
- Vanicek, P. and Krakiwsky, E., 1986, Geodesy the concepts, 2nd edn. Elsevier, Amsterdam.
- Wahba, G., 1990, Spline models for observational data, CBMS-NSF regional conference series in applied mathematics, 59, SIAM, Philadelphia.
- Results of field test for computing orthometric correction based on measured gravity, Geom Res Aus 72, 43–60.
- Kim, M. C., Tapley, B. D., Shum, C. K. and Ries, J. C., 1995, Center for Space Research Mean Sea Surface Model, Presented at the TOPEX/Poseidon working Team Meeting, Pasadena California.
- Krakiwsky, E. J., 1965, Heights, MS Thesis, Department of Geodesic Science and Survey, Ohio State University Columbus, 157 pp.
- Ledersteger, K., 1955, Der Schwereverlauf in den Lotlinien und die Berechnung der wahren Geoidschwere, Publication dedicated to W. A. Heiskanen, Publ. Finn. Geod. Inst., 46, 109–124.
- Mader, K., 1954, Die orthometrische Schwerekorrektion des Präzisions-Nivellements in den Hohen Tauern, Österreichische Zeitschrift für Vermessungswesen, Sonderheft 15.
- Moritz, H., 1980, Advanced physical geodesy, Herbert Wichmann Verlag, Karlsruhe, Abacus Press, Tunbridge, Wells, Kent.
- Niethammer, T., 1932, Nivellement und Schwere als Mittel zur Berechnung wahrer Meereshöhen, Schweizerische Geodatische Kommission, Berne.
- Rapp, R. H., 1961, The orthometric height, MS Thesis, Department of Geodesic Science, Ohio State University, Columbus, 117 pp.
- Rapp, R. H., 1998, The Development of a Degree 360 Expansion of the Dynamic Ocean Topography of the POCM_4B Global Circulation Model, NASA/CR-1998-206877, Greenbelt Maryland 20771.
- Safari, A., Ardalan, A. A., Grafarend, E. W., 2005, A new ellipsoidal gravimetric, satellite altimetry and astronomic boundary value problem, a case study: the geoid of Iran, Journal of Geodynamic 39, 545–568.
- Sanso, F., 1995, The long road from measurements to boundary value problems in physical geodesy, manuscripta geodetica, 20, 326–344.
- Sanso, F. and Sona, G., 1993, The challenge of computing the geoid in the nineties. Surveys in Geophysics 14, 339–371.
- Sanso, F., Vanicek, P., 2006, The orthometric height and the holonomy problem. Journal of Geodesy, 80: 225–232.
- Stammer, D., Tokmakian, R., Semtner, A. and Wunsch, C., 1996, How well does a $\frac{1}{4}^{\circ}$ global circulation model simulate large-scale ocean observation?, Geophysical Research, 101, C11, 25779–25812, 1996.
- Strang, W. E., 1982, An evaluation of orthometric height accuracy using borehole gravimetry, Bull